

# DDTs 在海河干流市区段沉积物/水间迁移行为研究

迟杰<sup>1</sup>, 张玄<sup>2</sup>

(1. 天津大学环境科学与工程学院, 天津 300072; 2. 保定市环境保护监测站, 保定 071000)

**摘要:**于2007年8月~2008年3月对海河干流表层水和沉积物中滴滴涕(DDTs)污染状况进行了采样调查。结果表明, 海河干流水体DDTs含量为6.88~78.82 ng/L(均值28.54 ng/L), 表层沉积物中DDTs含量为5.82~45.5 ng/g(均值21.55 ng/g), 表层水和表层沉积物中DDTs主要成分分别为-DDT和-DDE。利用稳态非平衡逸度模型计算了-DDT在海河干流沉积物/水间迁移和分布, 模型结果用现场实测浓度进行验证, 计算值与实测值吻合很好。模型参数灵敏度分析进一步表明, 生物降解速率常数、污染物在悬浮颗粒物/水间分配系数以及水体颗粒物沉降通量是影响-DDT在沉积物/水间迁移过程的主要因素。

**关键词:**DDTs; 海河干流; 逸度模型; 沉积物; 表层水

中图分类号:X131.2 文献标识码:A 文章编号:0250-3301(2009)08-2376-05

## DDTs Transport Between Sediment and Water in the Mainstream of Haihe River in the Urban Area

CHI Jie<sup>1</sup>, ZHANG Xuan<sup>2</sup>

(1. School of Environmental Science and Engineering, Tianjin University, Tianjin 300072, China; 2. Baoding Environmental Monitoring Station, Baoding 071000, China)

**Abstract:** DDTs concentrations in surface water and sediment were measured from August 2007 to March 2008 in the mainstream of Haihe River. The results showed that DDTs concentrations ranged from 6.88-78.82 ng/L (mean 28.54 ng/L) in surface water, 5.82-45.5 ng/g (mean 21.55 ng/g) in sediment. The dominant DDTs form in surface water and sediment was found to be *p,p'*-DDT and *p,p'*-DDE, respectively. A steady state fugacity model (sediment-water exchange model) was established and successfully applied to the field data for *p,p'*-DDT in Haihe River. The parameter sensitivity analysis showed that sediment-water exchange of *p,p'*-DDT was mainly influenced by biodegradation rate constant, suspended particle-water partition coefficient and particle settling flux.

**Key words:** DDTs; mainstream of Haihe River; fugacity model; sediment; surface water

有机氯农药是全球性污染物, 其中滴滴涕(DDTs)由于难降解和高生态毒性而受到广泛重视, 被列入《关于持久性有机污染物的斯德哥尔摩公约》中首批受控制的12种化合物<sup>[1]</sup>。DDTs具有很强的亲脂性<sup>[2]</sup>, 易吸附在颗粒物中, 随颗粒物沉降进入水体沉积物中, 因此沉积物是DDTs这类持久性有机污染物的“汇”<sup>[3~5]</sup>。当进行水体修复或水体污染物含量减少时, 沉积物中污染物的释放量就会增加, 沉积物又成为DDTs二次污染的“源”<sup>[6,7]</sup>。因此, 有必要研究DDTs这类持久性有机污染物在沉积物/水间迁移行为, 弄清影响该过程的主要因素, 为水体污染物控制提供依据。

天津是我国DDT生产和使用的主要地区, 已受到DDT严重污染<sup>[8]</sup>。海河干流流经天津, 水体污染严重。本研究于2007年8月~2008年3月采集海河干流水体和表层沉积物样品, 对DDTs(*p,p'*-DDT、*o,p'*-DDT、*p,p'*-DDE、*p,p'*-DDD)含量进行测定; 通过建立稳态非平衡逸度模型及模型参数灵敏度分

析, 讨论了影响污染物在沉积物/水间交换的主要因素。

### 1 材料与方法

#### 1.1 样品采集

采样点位于海河干流天津市区段(图1), 起始于三岔口(S1), 采样河段长度约为16 km, 平均水深4 m。水样采集距水面20 cm处的表层水, 表层沉积物(0~2 cm)用柱状沉积物采样器采集。水样采集后保存于干净的棕色瓶中, 沉积物样品装在干净密封的聚四氟乙烯塑料袋中, 于0~4°C下保存并及时送回实验室处理。

#### 1.2 样品分析

取500 mL水样, 用25 mL正己烷萃取2次, 每次振荡10 min, 合并萃取液。将萃取液K-D浓缩至约

收稿日期: 2008-08-31; 修订日期: 2008-12-04

基金项目: 国家自然科学基金项目(20677042, 20777052)

作者简介: 迟杰(1964~), 女, 博士, 教授, 主要研究方向为污染生态化学, E-mail: cjiechi@yahoo.com

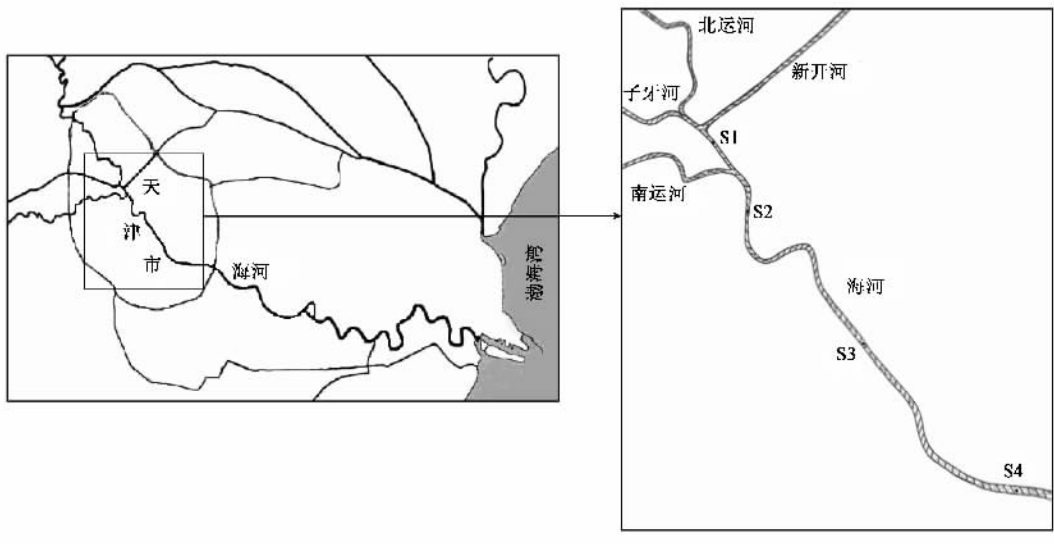


图 1 采样点分布示意

Fig.1 Map of sampling sites

0.5 mL, 移入硅胶柱净化, 然后用二氯甲烷: 正己烷(1:3, 体积比)50 mL 洗脱, 洗脱液用柔和的氮气吹干, 定容至 0.1 mL, 气相色谱测定。同时做 3 个平行样。

沉积物样品经冷冻干燥后, 研碎过 80 目筛, 取 5 g 样品, 放入 50 mL 离心管中。在离心管中分 2 次加入二氯甲烷: 正己烷(1:1, 体积比)25 mL, 超声萃取 15 min, 4 000 r/min 离心 5 min。上清液合并移入 250 mL 具塞锥形瓶中。在锥形瓶中加入活化铜片(经 1:1 盐酸、蒸馏水、甲醇处理), 振荡 14 h 脱硫。经脱硫的萃取液, K-D 浓缩至 0.5 mL 左右, 移入硅胶柱净化, 然后用二氯甲烷: 正己烷(1:3, 体积比)50 mL 洗脱, 洗脱液用柔和的氮气流吹脱, 定容至 0.5 mL, 气相色谱测定。同时做 3 个平行样。

Agilent 6890N 型气相色谱仪,  $\mu$ -ECD; 色谱柱为 Agilent DB-35ms 气相毛细管柱( $30.0\text{ m} \times 0.32\text{ mm} \times 0.25\text{ }\mu\text{m}$ ); 进样口温度 250°C; 检测器温度 300°C;  $N_2$  流量 1.5 mL/min, 不分流; 进样量 1  $\mu\text{L}$ ; 程序升温: 160°C(0.5 min)  $\rightarrow$  15 °C/min  $\rightarrow$  230°C  $\rightarrow$  10 °C/min  $\rightarrow$  275°C(3 min)。DDTs 在水和沉积物中回收率分别为 87% ~ 109% 和 86% ~ 112%。

### 1.3 逸度模型

逸度( $f$ )最早是由 Lewis 于 1901 年提出来作为各相间的一种平衡标准。1979 年 Mackay<sup>[9]</sup>首次把这一概念引入有机化学品在环境各相分布与预测模型研究, 并提出逸度模型。逸度模型因其结构简单, 需要参数少而被广泛应用于估算有机化学品在多介质

环境中的分布。

为了研究沉积物/水间 DDTs 的迁移行为, 以沉积物为主相, 根据质量平衡关系建立沉积物/水交换模型的逸度模型。沉积物-水交换模型需要考虑以下 5 个迁移转化过程: ①颗粒物的沉降; ②沉积物的再悬浮; ③沉积物的掩埋; ④水体和间隙水间的扩散交换; ⑤沉积物中的反应(降解转化)。沉积物/水交换模型的逸度模型如式(1):

$$V_s Z_s df_s/dt = f_w(D_D + D_T) - f_s(D_R + D_T + D_B + D_S) \quad (1)$$

式中,  $f_w$  为污染物在水中的逸度;  $f_s$  为污染物在沉积物中的逸度;  $Z_s$  为污染物在沉积物中的逸度容量;  $D_D$  为悬浮物沉降迁移参数;  $D_R$  为沉积物再悬浮迁移参数;  $D_T$  为污染物在水和沉积物间扩散迁移参数;  $D_B$  为掩埋迁移参数;  $D_S$  为污染物在沉积物中转化迁移参数。

根据本研究于 2007 ~ 2008 年的现场采样结果, 沉积物中 DDTs 的浓度基本稳定, 可以认为 DDTs 在海河干流沉积物中呈稳态, 即  $df_s/dt = 0$ 。此外, 污染物的浓度  $c = Zf$ , 将这 2 个关系式代入式(1)得:

$$\frac{c_w}{Z_w}(D_D + D_T) = \frac{c_s}{Z_s}(D_R + D_T + D_B + D_S) \quad (2)$$

逸度容量  $Z$  和迁移参数  $D$  的计算公式和所需参数见表 1 和表 2。

将表 2 中  $D$  的计算公式代入式(2)并化简可以得到:

表 1 逸度容量的计算

Table 1 Calculation of fugacity capacity  $Z$ 

介质	计算公式	说明
水	$Z_w = 1/H$	$H$ : 亨利常数
沉积物	$Z_s = K_{sw}\rho_s/H$	$K_{sw}$ : 沉积物/水间分配系数; $\rho_s$ : 沉积物的密度
悬浮颗粒物	$Z_p = K_{pw}\rho_p/H$	$K_{pw}$ : 颗粒物/水间分配系数; $\rho_p$ : 颗粒物的密度

表 2 迁移参数  $D$  的计算Table 2 Calculation of  $D$  parameters

符号	计算公式	说明
$D_D$	$D_D = v_p A_s Z_p$	$v_p$ : 水中悬浮颗粒物的沉降速率; $A_s$ : 沉积物和水间的界面面积
$D_R$	$D_R = v_R A_s Z_s$	$v_R$ : 沉积物的再悬浮速率
$D_B$	$D_B = v_B A_s Z_s$	$v_B$ : 沉积物的掩埋速率
$D_T$	$D_T = K_T A_s Z_w$	$K_T$ : 沉积物/水界面的总扩散迁移系数
$D_S$	$D_S = K_s V_s Z_s$	$K_s$ : 沉积物中污染物生物降解速率常数; $V_s$ : 沉积物的体积

$$c_s = \frac{v_p K_{pw} \rho_p + K_T}{v_R + \frac{K_T}{K_{sw} \rho_s} + v_B + h K_s} \quad (3)$$

## 2 结果与讨论

### 2.1 DDTs 的时空分布

海河干流表层水样和沉积物中均有 DDTs 的检出, 样品中 DDTs 的时空分布如图 2 和图 3 所示。水样中 DDTs 浓度为  $6.88 \sim 78.82 \text{ ng/L}$ (均值  $28.54 \text{ ng/L}$ ), 沉积物中 DDTs 浓度为  $5.82 \sim 45.5 \text{ ng/g}$ (均值  $21.55 \text{ ng/g}$ )。

图 2 显示 8 月 28 日海河干流水样中 DDTs 含量明显高于其他 2 次采样, 可能与海河 8 月下旬补水有关。补水期间, 携带 DDTs 残留物的水流入海河干流, 使水体污染物浓度升高。

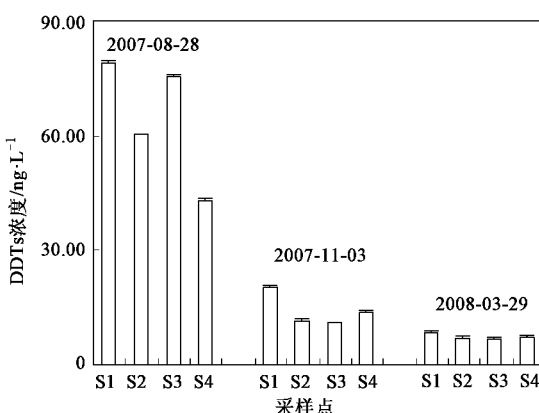


图 2 表层水中 DDTs 的时空分布

Fig. 2 Distribution of DDTs in surface water

图 3 显示海河干流沉积物中 DDTs 含量的时空变化趋势不太明显, 将海河干流沉积物中 DDTs 含量与 TOC 含量进行相关性分析发现, 沉积物中 DDTs

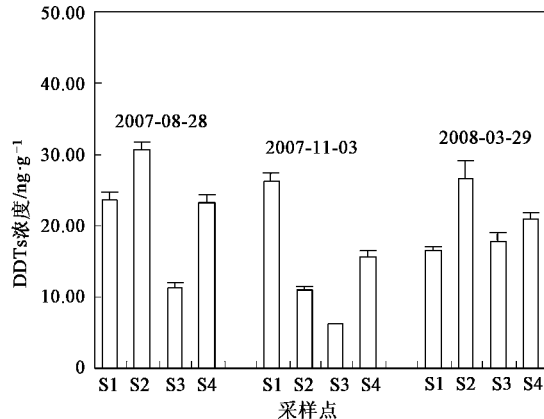


图 3 沉积物中 DDTs 的时空分布

Fig. 3 Distribution of DDTs in sediment

含量与 TOC 含量呈较好相关性( $R^2 = 0.7866, n = 12, p = 0.0000$ ; 图 4), 表明 TOC 含量对 DDTs 在沉积物中的分布起重要作用。Yang 等<sup>[10]</sup>于 2003 年监测海河干流沉积物中 DDTs 含量, S2 点 DDTs 平均含量为  $70.94 \text{ ng/g}$ , 显著高于本研究于 2007 ~ 2008 年

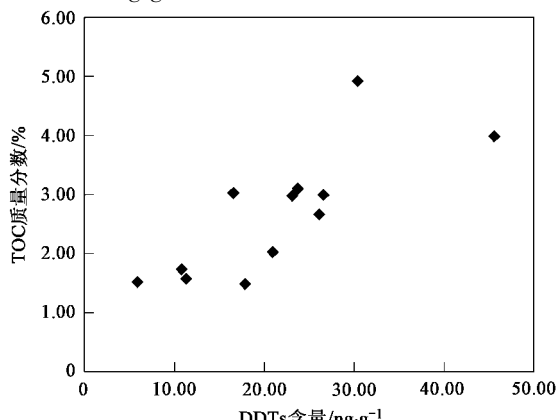


图 4 表层沉积物中 DDTs 含量与 TOC 的关系

Fig. 4 Correlation between TOC and DDTs in sediments

的监测结果(均值22.60 ng/g),说明海河干流沉积物中DDTs含量通过生物降解等自净作用<sup>[11~13]</sup>以及DDTs使用和排放减少而明显降低.

## 2.2 DDTs的组成特征

海河干流表层水样DDTs中 $p,p'$ -DDT、 $o,p'$ -DDT、 $p,p'$ -DDE和 $p,p'$ -DDD的平均质量分数分别为68.1%、21.8%、8.1%和2.0%, $p,p'$ -DDT是表层水中DDTs的主要成分.表层沉积物DDTs中 $p,p'$ -DDT、 $o,p'$ -DDT、 $p,p'$ -DDE和 $p,p'$ -DDD的平均质量分数分别为19.8%、4.6%、41.6%和34.0%, $p,p'$ -DDE是沉积物中DDTs的主要成分.研究表明,DDT在有氧条件下转化为DDE,厌氧条件下转化为DDD<sup>[2]</sup>;若(DDE+DDD)/DDTs>0.5,说明污染物可能主要来自长期风化作用造成的环境中的残留;若(DDE+DDD)/DDTs<0.5,说明有新的DDTs农药输入<sup>[14]</sup>.由图5可见,表层水中(DDE+DDD)/DDTs值均<0.5,这表明海河水体中的DDT污染物可能有新的污染源输入,分析原因,可能是由于农药三氯杀螨醇目前仍被允许使用所致.农药三氯杀螨醇的原料即为DDT,该产品内含3.5%~10.8%左右的DDT.沉积物中(DDE+DDD)/DDTs值约有92%>0.5,说明DDT通过水体沉降至沉积物后被进一步降解.表层水和沉积物中DDD/DDE比值均有75%以上<1,说明海河表层沉积物中DDT的降解方式以好氧生物降解为主.

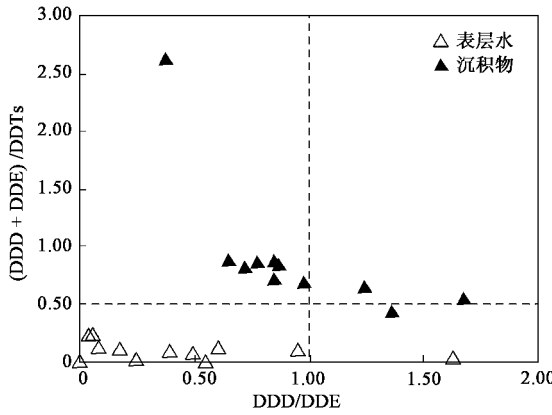


图5 表层水和沉积物中DDD/DDE与(DDD+DDE)/DDTs间关系

Fig.5 Ratio of DDD/DDE and (DDD+DDE)/DDTs in surface water and sediment

## 2.3 模型应用

$p,p'$ -DDT是工业DDT的主要成分,约含75%,其主要的降解产物是DDD和DDE.因此,本研究以 $p,p'$ -DDT为例,对 $p,p'$ -DDT在海河干流沉积物/水间迁移过程进行模型计算.

模型计算所需部分参数值,如 $K_{sw}$ 、 $K_{pw}$ 、 $K_s$ 、 $v_p$ 等采用实测值<sup>[15]</sup>,分别为0.654 m<sup>3</sup>/kg、21.0 m<sup>3</sup>/kg、 $8.575 \times 10^{-6}$  h<sup>-1</sup>和 $2.795 \times 10^{-7}$  m/h.还有一些参数获得比较困难,如 $K_T$ ,选取公式计算的方法<sup>[16]</sup>,计算值为 $1.58 \times 10^{-4}$  m/h.计算公式如式(4):

$$K_T = \frac{K' k_w k_s}{k_w + K' k_s} \quad (4)$$

式中, $K' = (1 - \eta) \rho_s K_d + \eta$ 是污染物的整体沉积物/水的分配系数; $\eta$ 是沉积物的空隙率; $\rho_s$ 是沉积物的密度(kg/m<sup>3</sup>); $K_d$ 是沉积物/水分配系数(m<sup>3</sup>/kg); $k_w = d_{bw}/\delta_w$ 、 $k_s = d_{bs}/\delta_s$ 分别是水相和沉积物相传质系数(m/h), $\delta_w$ 和 $\delta_s$ 分别是水相和沉积物相边界层厚度(m), $d_{bw}$ 和 $d_{bs}$ 分别是水相和沉积物相的扩散系数(m<sup>2</sup>/h).

沉积物的掩埋速度 $v_B$ 变化很大,通常都使用每年1 mm这个值<sup>[17]</sup>,即 $v_B = 1.14 \times 10^{-7}$  m/h,根据 $v_p$ 和 $v_B$ 的值可以推出沉积物再悬浮的速度 $v_R = 1.65 \times 10^{-7}$  m/h.将模型参数代入式(3)得到模型计算结果.

图6比较了 $p,p'$ -DDT在沉积物中含量的模型计算值与实测值.可以看出, $p,p'$ -DDT的计算值与实测值之间相差最大不超过4倍,吻合很好,预测结果比较可信.

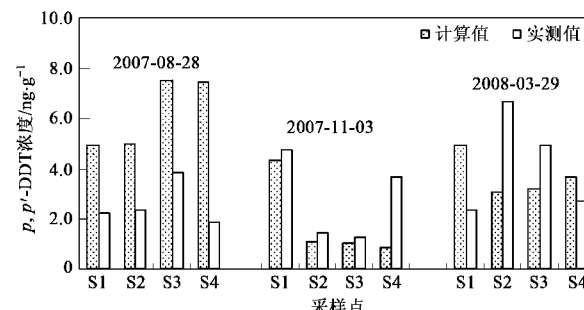


图6 沉积物中 $p,p'$ -DDT的实测值与模型计算值

Fig.6 Field sampling data and model predict of  $p,p'$ -DDT in sediment

## 2.4 模型参数灵敏度分析

为了考察输入参数( $X$ )变化对输出结果( $Y$ )的影响,对模型进行了参数灵敏度分析,灵敏度系数(SC)计算方法如下:

$$SC_i = (\Delta Y_i / Y_i) / (\Delta X_i / X_i) \quad (5)$$

通过对模型参数进行灵敏度分析发现,沉积物中DDTs含量对 $K_s$ 、 $K_{pw}$ 、 $v_p$ 的灵敏度系数的绝对值大于0.5,说明这3个参数对模型计算结果有显著影响;其余参数灵敏度系数的绝对值明显低于0.5,说

明这些参数对模型计算结果的影响较小。

### 3 结论

(1) 在海河干流表层水和沉积物样品中均有 DDTs 检出, 海河干流水体中 DDTs 的浓度为 6.88~78.82 ng/L(均值 28.54 ng/L), 表层沉积物中 DDTs 的浓度为 5.82~45.5 ng/g(均值 21.55 ng/g), 表层水和表层沉积物中 DDTs 的主要成分分别为 *p, p'*-DDT 和 *p, p'*-DDE.

(2) 利用稳态非平衡逸度模型计算了 *p, p'*-DDT 在海河干流沉积物/水间的迁移和分布, 模型结果用现场实测浓度进行验证, 计算值与实测值很好地吻合。

(3) 模型参数灵敏度分析表明, 生物降解速率常数、污染物在悬浮颗粒物/水间分配系数以及水体颗粒物沉降通量是影响 *p, p'*-DDT 在沉积物/水间迁移过程的主要因素。

#### 参考文献:

- [1] 岳瑞生.《关于就某些持久性有机污染物采取国际行动的斯德哥尔摩公约》及其谈判背景[J].世界环境, 2001, 1: 24-28.
- [2] Willett K L, Ulrich E M, Hites S A. Differential toxicity and environmental fates of hexachlorocyclohexane isomers [J]. Environ Sci Technol, 1998, 32: 2197-2207.
- [3] Zhang Z L, Hong H S, Zhou J L, et al. Fate and assessment of persistent organic pollutants in water and sediment from Minjiang River Estuary, Southeast China [J]. Chemosphere, 2003, 52(9): 1423-1430.
- [4] Zhou J L, Maskaoui K, Qiu Y W, et al. Polychlorinated biphenyl congeners and organochlorine insecticides in the water column and sediments of Daya Bay, China [J]. Environ Pollut, 2001, 113(3): 373-384.
- [5] 李红莉, 李国刚, 杨帆, 等. 南四湖沉积物中有机氯农药和多氯联苯垂直分布特征[J]. 环境科学, 2007, 28(7): 1590-1594.
- [6] 谭建强. 洞庭湖环境中有机氯农药污染水平及有关迁移转化规律探讨[J]. 环境科学动态, 1988, 13(1): 15-18.
- [7] Lin C H Mi, Pedersen J A, Suffet I H. Influence of aeration on hydrophobic organic contaminant distribution and diffusive flux in estuarine sediments [J]. Environ Sci Technol, 2003, 37(16): 3547-3554.
- [8] 龚钟明, 王学军, 李本纲, 等. 天津地区土壤中 DDT 的残留分布研究[J]. 环境科学学报, 2003, 23(4): 447-451.
- [9] Mackay D. Multimedia environmental model: the fugacity approach [M]. Michigan: Lewis Publisher, 1991.
- [10] Yang R Q, Lv A H, Shi J B, et al. The levels and distribution of organochlorine pesticides (OCPs) in sediments from the Haihe River, China [J]. Chemosphere, 2005, 61: 347-354.
- [11] Bum P J, Aust S D. Biodegradation of DDT by the white rot fungus *Phanerochaete chrysosporium* [J]. Appl Environ Microbiol, 1987, 53(9): 2001-2008.
- [12] Loyd J, Nadeau M, Min F, et al. Aerobic degradation of DDT by *Alcaligenes eutrophus* A5 [J]. Appl Environ Microbiol, 1994, 60: 51-55.
- [13] 崔成云. 有机氯农药在海河沉积物中生物降解特性研究[D]. 天津: 天津大学, 2008.
- [14] Hong H, Chen W, Xu L, et al. Distribution and fate of organochlorine pollutants in the Pearl River Estuary [J]. Mar Pollut Bull, 1999, 39: 376-382.
- [15] 张玄. 海河干流水域有机氯农药的分布与归趋[D]. 天津: 天津大学, 2008.
- [16] Mackay D, Joy M, Paterson S. A quantitative water air sediment interaction (QWASI) fugacity model for describing the fate of chemicals in lakes [J]. Chemosphere, 1983, 12(7/8): 981-997.
- [17] Hayduk W, Laudie H. Prediction of diffusion coefficients for non-electrolysis in dilute aqueous solution [J]. AIChE J, 1974, 20(3): 611-615.